



Evaluation of Neotectonic Activity in Catchment Developments Case Study: Southern Karkas Mountain Watersheds

Alireza Taghian^{a*}, Farokh Malekzadeh^b.

^a. Assistant Professor Faculty of Geographical Sciences and Planning, University of Isfahan, Isfahan, Iran

^b. Ph.D. Candidate Faculty of Geographical Sciences and Planning, University of Isfahan, Isfahan, Iran

Extended Abstract

Introduction

By studying, the geological structure, landforms topography, pattern of drainage network systems, indicators and geomorphological evidences of each region, the performance of Active tectonics can be evaluated. The Karkas Mountain is located in the east of Isfahan and the magmatic arc of Urmieh – Dokhtar between Sannandaj and Sirjan. The purpose of this study is to investigate, evaluate and estimate Neotectonic and its effect on morphology, behavior, formation and evolution of southern catchments of Karkas heights using geomorphic morphometric indices and its adaptation to geomorphological evidence in the region.

Materials and methods

In this study, after studying and collecting library information, preparing the required data, in the ArcGIS software environment, the area of the basins south of Karkas Heights (10 catchments) was determined and their drainage network was extracted from DEM. Using Geomorphologic indexes to evaluate the amount and intensity of Active Tectonics in the area. This Geomorphologic Indicators are the Ratio of a Circle (Re), Bifurcation ratio (Rb), Basin form (FF), Geomorphic features of the Hypsometric integral (Hi), Basin Volume Area (V/A), The topographic symmetry Factor (T), River Length-Gradient (SL), River Sinuosity (S), Mountain Front Sinuosity (Smf), Basin shape ratio (Bs), Alluvial fan Area (Af), Alluvial fan Slope (Sf). Then using the relative active tectonic index (Iat), As a model and conceptual technique the amount of tectonic activity in catchments was calculated. Finally, the morphological evidence of active tectonics in the study area was examined. DEM 90-meter of the country is surveying organization, geological map 1: 100000, topographic map 1: 50000, IRS satellite images and Google inherit the data used in this study.

Result and discussion

Each of the quantitative characteristics of catchment basins with specific values represents a form in the catchments. The relative active tectonic index (Iat) and Geomorphological Indices show that the area is very active. The Niazmargh, Soh, Safiabad were more active than other catchment. Existence of numerous faults that are part of the Qom-Zefrah fault system is one of the geomorphological evidences in the study area. Each of the catchments in the area is affected by one or more fault systems. Quaternary faults do not exist in all catchments of the region and

*. Corresponding author (a.taghian@geo.ui.ac.ir)

<http://doi.org/10.22059/JPHGR.2021.254527.1007197>

Received: 25 March 2022; Received in revised form: 24 May 2022; Accepted: 27 July 2022

Copyright © 2022 The Authors. Published by University of Tehran. This is an open access article under the CC BY license(<https://creativecommons.org/licenses/by/4.0/>).

are seen only in the catchments of Maravand, Absenjed, Robat, Panavand, niazmargh and the border between Safiabad catchment area and niazmargh and Panavand catchments. The valleys and canals of the rivers of Maravand, Niazmargh, Soh and Kalahrood are suitable with geological structure, tectonic activities, slopes and erosion processes have different shapes. Another geomorphological evidence in the study area is alluvial fan section. The old, semi-active and active alluvial fan can be seen in Soh area. In Kalahrood catchment, the traces of old alluvial fans have been largely destroyed and only a few parts of it have been left. Tilt of the alluvial fan and displacement of the main waterway on the alluvial fan are the other effects of tectonic movements in the region.

The course of rivers in the mountainous part, depending on the land structure or tectonic structure, has an almost east-west or northeast-southwest trend, but after leaving the mountain, under the influence of the northern part, it turns to the south and goes north-south. Some rivers (Soh, Kalahrood and Robat) have been diverted to the east due to the more uplifted of the northwestern part. In the northwestern part, due to more uplift, successive alluvial fans have been formed, while in the south-eastern part no evidence of it is observed. The slope of basins and rivers in the northwestern part is more than twice their slope in the southeastern part, which can be affected by tectonic movements. The average slope of the basins in the northwestern part is 25 percent and in the southeastern part is 12.7 percent and the average slope of rivers in the northwestern part is 20.75 and in the southeastern part is 8.1 percent. In the northwestern part, the erosion power of rivers has increased so that rivers have been able to create deeper valleys (Soh and Kalahrood valleys). While in the southeastern part, the width of the valleys is usually greater than their depth. Vf is 1.7 in the northwestern part and 8 in the southeastern. The heights of Karkas and its surroundings are active in terms of seismicity, so that in the last three hundred years, about six earthquakes of more than 4 Richter were recorded, the last of which occurred in 2016 in the Habibabad basin. During a four-year period (2008-2004), 1250 earthquakes have been recorded in Isfahan seismic network (Kalahrood, Zefreh, Nain, Qarneh and Pirpir stations)). The seismicity of Qom-Zefreh fault is estimated to be about seven Richter. According to the values of geomorphic indicators and seismic data it seems that the region is tectonically active and this activity has been more intense in Maravand, Niazmargh, Soh and Kalahrood basins. The intensity of tectonic activities decreases from northwest to southeast, so the region can be divided into northwestern and southeastern in terms of activity intensity.

Conclusion

The relative active tectonic index (Iat) and Geomorphic Indices show that the area is very active. The Niazmargh, Soh, Safiabad were more active than other catchment. The Iat index of catchments is 1.93 which varies from 1.2 to 2.6 in catchments. The deep River valleys (Soh, Kalahrood, Niazmargh and Panavand), consecutive and fragmented alluvial fan (Soh and Kalahrood rivers), river terraces, diversion paths and riverbeds (Soh, Kalahrood and Robat) and numerous faults are geomorphological evidence that confirm the characteristics of the basins are affected by tectonic movements in the region. The results of geomorphological indices and seismic data of the region show that the catchments are active in terms of tectonic activity, but the intensity of tectonic activity in the region is not the same and its amount decreases from northwest to southeast. The impact of tectonic activity in the northwestern basins has been greater than its impact in the southeast. These activities have deepened valleys, changed the course and bed, increased the slope of some rivers, increased the erosive power and fragmentation and sequencing of alluvial fans.

Keywords: Watershed, Geomorphological indexes Neotectonic, Karkas.



ارزیابی فعالیت‌های نئوتکتونیکی در تحولات حوضه‌های آبریز مطالعه موردنی: حوضه‌های آبریز جنوب کوهستان کرکس

علیرضا تقیان^۱ – استادیار جغرافیای طبیعی، دانشکده علوم جغرافیایی و برنامه‌ریزی، دانشگاه اصفهان، اصفهان، ایران
فرخ ملکزاده^۲ – دانشجوی دکتری جغرافیای طبیعی، دانشکده علوم جغرافیایی و برنامه‌ریزی، دانشگاه اصفهان، اصفهان، ایران

چکیده

با مطالعه و بررسی ساختمان زمین‌شناسی، لندفرم‌های توپوگرافی، الگوی سیستم‌های شبکه‌زهکشی، شاخص‌ها و شواهد ژئومورفولوژیک هر منطقه می‌توان عملکرد زمین‌ساخت فعال را ارزیابی کرد. کوهستان کرکس در شرق اصفهان و کمان مأگمایی ارومیه- دختر حد فاصل پهنه سندج- سیرجان قرار دارد. هدف از پژوهش حاضر ارزیابی میزان فعالیت‌های زمین‌ساختی با استفاده از شاخص‌های ژئومورفیک در حوضه‌های آبریز جنوب کوهستان کرکس است. برای ارزیابی میزان فعالیت‌های نوزمین‌ساخت شاخص‌های ژئومورفولوژیک از جمله نسبت کشیدگی (Re)، نسبت انشعابات (Rb)، فرم حوضه (FF)، انتگرال فرازنما (Hi)، حجم به سطح حوضه (V/A)، تقارن توپوگرافی عرضی (T)، گرادیان پیچ رودخانه (SL)، پیچ و خم رودخانه (S)، سینوزیته جبهه کوهستان (Smf)، نسبت شکل حوضه (BS)، وسعت مخروطافکنه (Af)، شیب مخروطافکنه (Sf) محاسبه شد و سپس با استفاده از شاخص نسبی زمین‌ساخت فعال (Lat) به عنوان تکیک مدلی و مفهومی میزان فعالیت‌های تکتونیکی در حوضه‌های آبریز برآورد شد. درنهایت، شواهد مورفوگلوبیکی زمین‌ساخت فعال در منطقه مطالعاتی بررسی شد. نتایج حاصل از شاخص‌های ژئومورفولوژیک و وجود شواهد ژئومورفولوژیکی موجود در منطقه بیانگر وجود فعالیت‌های زمین‌ساختی زیاد در حوضه‌های آبریز جنوب ارتقاعات کرکس است. شدت فعالیت‌های تکتونیکی از جنوب شرق به سمت شمال غرب شدت می‌یابد. این تحرکات باعث تعمیق برخی دره‌ها، افزایش شیب و انحراف و تغییر مسیر برخی از رودخانه‌ها و تقطیع مخروطافکنه‌ها شده است.

واژگان کلیدی: حوضه آبریز، شاخص‌های ژئومورفولوژیک، کوهستان کرکس، نئوتکتونیک.

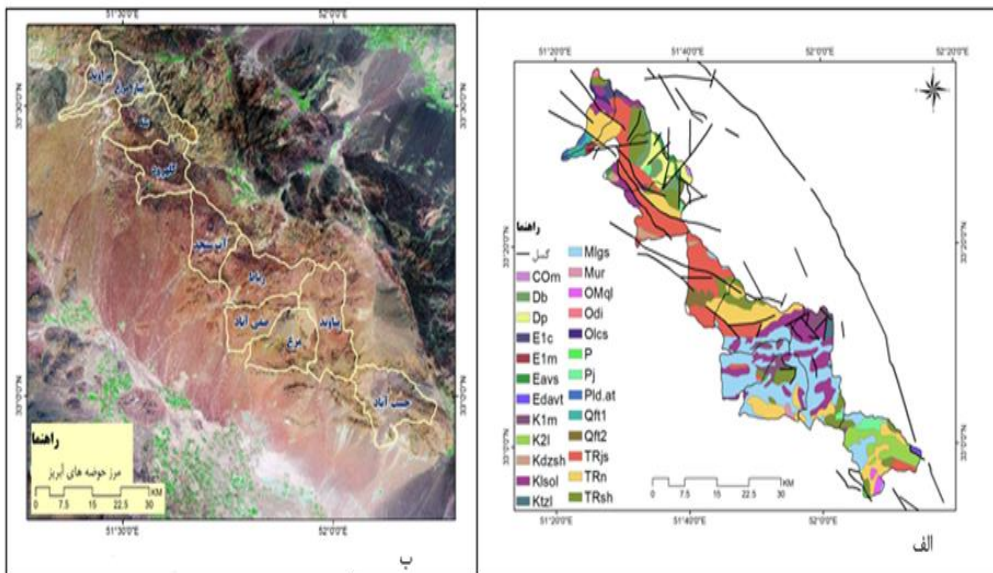
مقدمه

نوزمین ساخت فعال به مطالعه فرایندهای پویا و دینامیک مؤثر در شکل دهی زمین و چشم‌اندازهای موجود در آن می‌پردازد (Keller & Pinter, 2002:80). مسلماً هر جا فعالیتی از نظر تکتونیکی در زمان زمین‌شناسی کواترنر دیده شود آثار و شواهد آن به شکل‌های مختلف در سطح زمین قابل شناسایی است (Guarnieri & Pirrotta, 2008:6). به طور کلی، بخش عمده‌ای از چشم‌انداز یک منطقه حاصل فعالیت‌های نیروهای درونی زمین و عملکرد آن‌ها در سطح زمین است. یکی از این چشم‌اندازها کوهستان است. معمولاً، در این کوهستان‌ها شبکه‌های هیدرولوژی مشخصی در جریان خواهند بود و حوضه‌های آبریز متعدد ساخت که همواره دارای مخاطرات محیطی و طبیعی مشخص خواهند بود (کرمی، ۱۳۸۸: ۶۷). شاخص‌های ژئومورفیک در بررسی فعالیت‌های تکتونیکی و نئوتکتونیکی می‌توانند به عنوان ابزاری مفید و کارآمد استفاده شوند، زیرا با استفاده از آن‌ها می‌توان مناطقی را که در گذشته فعالیت‌های سریع یا گند تکتونیکی را تجربه کرده‌اند به آسانی شناسایی کرد (Ramirez & Herrara, 1998:317). این شاخص‌ها رابطه تکتونیک و عوارض سطحی را به خوبی نشان می‌دهند و با آگاهی از این ارتباط می‌توان حادث تکتونیکی را از راه بررسی شکل‌ها و ناهمواری‌های سطح زمین تفسیر کرد (Hack, 1985:200). از مهم‌ترین ویژگی‌ها و محسن این شاخص‌ها می‌توان اشاره کرد به سادگی نسبی در روش محاسبه، سرعت عمل زیاد در به کارگیری آن‌ها برای بررسی مقدار فعالیت تک، ارزیابی فعالیت تکتونیکی مناطق در زمان کوتاه، آسان ترکدن مقایسه منطقی و معقول لندرفم‌ها در پژوهش‌های ژئومورفولوژی، تعیین مقدار لغزش به‌ویژه مقدار فرایش بر روی مناطق مورد بررسی، و به کمینه رساندن سلیقه‌ها و نظرهای شخصی در پژوهش‌ها (جیب‌اللهیان و رامشت، ۱۳۹۱: ۱۰۰). در سطح جهان می‌توان به مطالعات بول و مک فادن (۱۹۷۷)، فرانکل و پازگیلا (۲۰۰۶)، بهرامی (۲۰۱۳)، کاستلیک و همکاران (۲۰۱۶) اشاره کرد. عمدۀ بررسی‌های انجام‌گرفته برای سنجش مقدار فعالیت‌های تکتونیکی با استفاده از شاخص‌های تکتونیک ژئومورفولوژی در ایران بیان کننده حاکمیت فرایندهای تکتونیکی و تأثیرشان بر لندرفم‌ها و زمین‌شکل‌های مناطق مختلف است (گورابی و کیارستمی، ۱۳۹۴: ۴۶۶). از مطالعات انجام‌گرفته در این زمینه می‌توان اشاره کرد به پژوهش‌های سلیمانی (۱۳۷۸)، حسامی و طبیسی (۱۳۸۵)، مقصودی و همکاران (۱۳۹۱)، جباری و همکاران (۱۳۹۱)، بهرامی (۱۳۹۲)، یمانی و علیزاده (۱۳۹۵)، شریفی پیچون و همکاران (۱۳۹۶)، کرمی و همکاران (۱۳۹۷)، و پروین (۱۳۹۹). هدف از این پژوهش ارزیابی فعالیت‌های نئوتکتونیک و تأثیر تحول حوضه‌های آبریز جنوب ارتفاعات کرکس با استفاده از شاخص‌های ژئومورفولوژیک است. بدین منظور، برای ارزیابی میزان فعالیت‌های نوزمین ساخت شاخص‌های ژئومورفولوژیک برآورد شده است؛ از جمله نسبت کشیدگی (Re)، نسبت انشعابات (Rb)، فرم حوضه (FF)، انتگرال فرازنما (Hi)، حجم به سطح حوضه (A/V)، تقارن توپوگرافی عرضی (T)، گرادیان رودخانه (SL)، پیچ و خم رودخانه (S)، سینوزیتۀ جبهه کوهستان (Smf)، نسبت شکل حوضه (BS)، وسعت مخروطافکنه (Af)، و شیب مخروطافکنه (Sf). سپس، با استفاده از شاخص نسبی زمین‌ساخت فعال (Iat)، به عنوان تکنیک مدلی و مفهومی، میزان فعالیت‌های تکتونیکی در حوضه‌های آبریز محاسبه شده است.

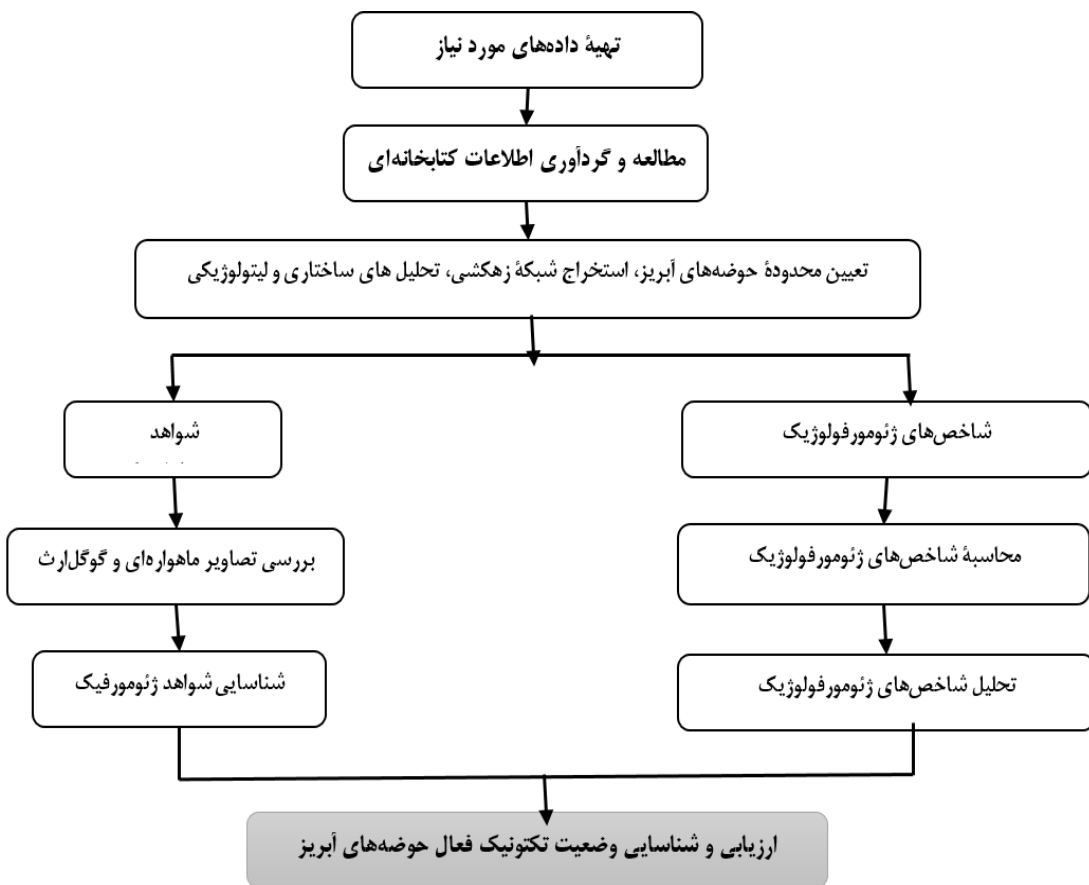
روش پژوهش

به منظور تهیۀ داده‌های مورد نیاز، در محیط نرم‌افزار ArcGIS محدودۀ حوضه‌های آبریز جنوب ارتفاعات کرکس (۱۰ حوضه آبریز) مشخص و شبکه زهکشی آن‌ها با استفاده از مدل رقومی ارتفاع (DEM) استخراج و ترسیم گردید شد (شکل ۱: - الف). و سپس، وضعیت تکتونیکی شاخص‌های ژئومورفیک (جدول ۱) حوضه‌های آبریز محاسبه و مقادیر به دست آمده برای شاخص‌های ژئومورفیک با توجه به روش ال‌همدونی و همکاران (۲۰۰۸) طبقه‌بندی شد. و سپس، مقدار شاخص IAT به عنوان تکنیک مدلی و مفهومی برای هر یک از حوضه‌های آبریز جنوب ارتفاعات کرکس محاسبه شده است. نقشه زمین‌شناسی و گسل‌های منطقه با استفاده از نقشه‌های زمین‌شناسی و گسل‌های سازمان زمین‌شناسی کشور ترسیم شد (شکل ۱: - الف). سپس، بررسی‌های اولیه در مورد شواهد ژئومورفولوژیکی تکتونیک فعال در حوضه‌های آبریز جنوب ارتفاعات کرکس با استفاده از نرم‌افزار گوگل ارث و تصاویر ماهواره IRS صورت انجام گرفت (شکل ۱: - ب). DEM ۹۰-متر سازمان نقشه‌برداری کشور، نقشه زمین‌شناسی ۱:۱۰۰۰۰۰، نقشه توپوگرافی

۵۰۰۱، تصاویر ماهواره IRS، و گوگل ارث داده‌های مورد استفاده در این پژوهش‌اند هستند. شکل ۲ الگوریتم پژوهش را به طوربه طور شماتیک نشان می‌دهد.



شکل شماره ۱. الف) نقشه‌گسل و زمین‌شناسی حوضه‌های آبریز جنوب ارتفاعات کرکس؛ ب) تصویر ماهواره‌ای حوضه‌های آبریز جنوب ارتفاعات کرکس



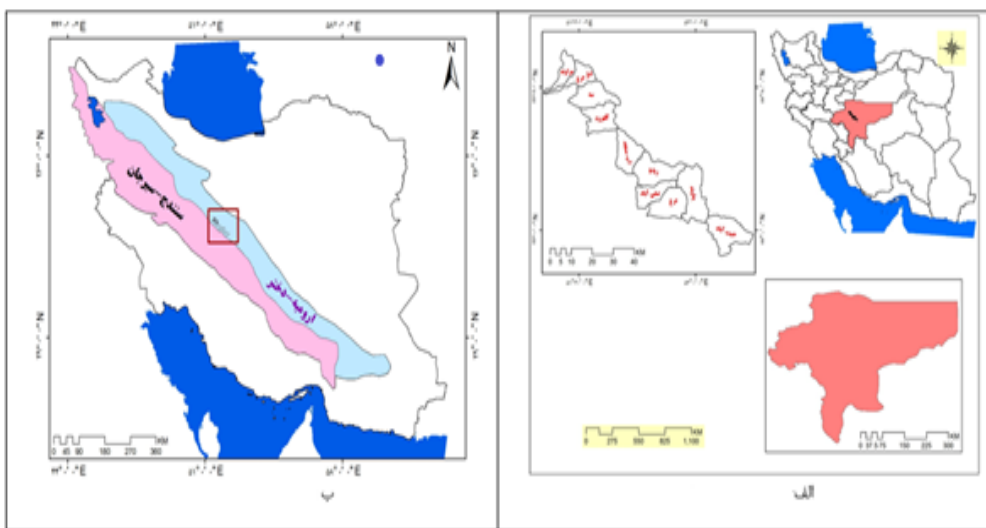
شکل شماره ۲. الگوریتم پژوهش

جدول شماره ۱. پارامترهای ژئومورفولوژیک و نحوه محاسبه آن‌ها

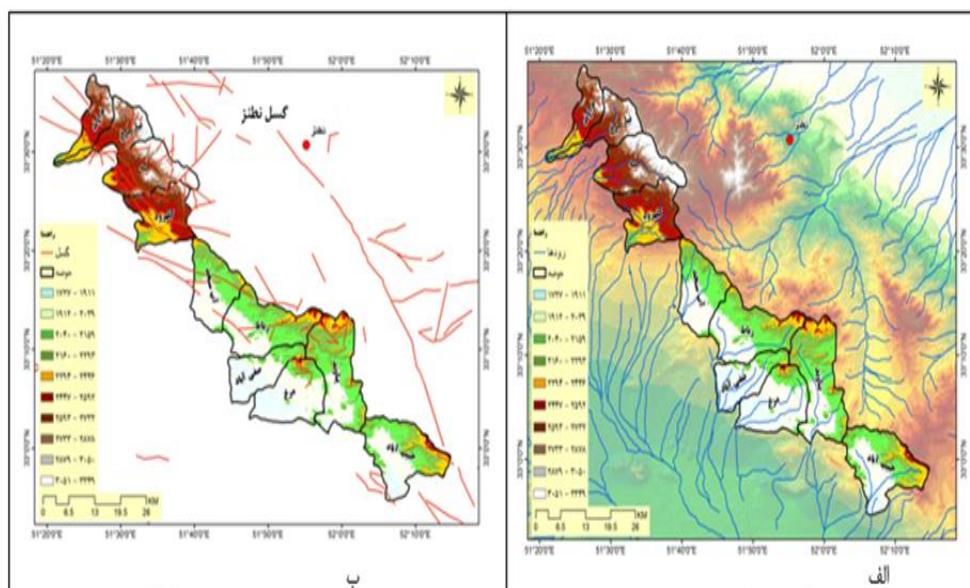
پارامتر	علامت اختصاری	فرمول	رابطه	مرجع
مساحت	A	-	-	-
محیط	P	-	-	-
نسبت کشیدگی	Re	$Re = \frac{2}{Lm} \left(\frac{A}{\pi} \right)^{0.5} = \left(\frac{A}{0.786} \right)^{0.5} \frac{1}{Lm}$	طول حوضه	علیزاده (۱۳۹۴)
درجه حرارتی با طولانی ترین آبراهه حوضه و مساحت حوضه است.				
نسبت انشعابات	Rb	$Nu:Rb = Nu/Nu+1$	تعداد آبراهه‌های یک رده است و	شوم (۱۹۵۶)
فرم حوضه	FF	$FF = \frac{A}{L^2}$		علیزاده (۱۳۹۴)
منحنی فراز نما و انگرال فراز نما	Hi	$Hmean \cdot Hi = (Hmean - Hmin) / (Hmax - Hmin)$	ارتفاع	کلر و پیتر (۱۹۹۶)
حجم به سطح حوضه	V/A	$V/A = Vi/Ai$	مقادیر عددی شاخص حجم به سطح حوضه است، Vi حجم حوضه، و Ai مساحت حوضه	هارکیز و همکاران (۲۰۰۵)
تقارن توپوگرافی عرضی	T	$T = Da/Dd$	شاخص تقارن توپوگرافی عرضی، Da فاصله شاخه اصلی از خط میانی حوضه و Dd معادل فاصله خط میانی حوضه آبریز از مرز حوضه	کلر و پیتر (۱۹۹۶)
گرادیان شبیه رودخانه	SL	$SL = \Delta H / \Delta L \times L$	شاخص شبیه رودخانه است، $\Delta H / \Delta L$ گرادیان محلی رودخانه، و L طول رودخانه از خط تقسیم آب تا مرز بخشی که گرادیان آن محاسبه شده است	هک (۱۹۷۳)
پیچ و خم رودخانه	S	$S = C/V$	شاخص درجه پیچش، C طول کanal رودخانه و V طول دره	هک (۱۹۷۳)
سینوزیته جبهه کوهستان	Smf	$Smf = Lmf/Ls$	سینوزیته جبهه کوهستان، Lmf طول سراسیبی که میانگر خط مماس در امتداد سراسیبی تند کوهستان است	بول و مکفادن (۱۹۷۷)
نسبت شکل حوضه	Bs	$Bs = BL/BW$	شاخص نسبت شکل حوضه، BL طول حوضه از دهانه حوضه آبریز تا بالاترین قسمت حوضه، و BW بیشترین عرض حوضه است	رامیرز و هیرا (۱۹۹۸)
و سعت مخروطافکنه	Af	$Af = CAd^n$	مساحت مخروطافکنه (کیلومتر مربع)، Ad مساحت حوضه آبریز (کیلومتر مربع)، C ضریب ثابت که بیانگر مساحت مخروطافکنه به ازای هر کیلومتر مربع از حوضه آبریز است، و n ضریب خط رگرسیون است که الف. $Af = 3.34Ad^{0.55}$ مربوط به جبهه‌های کوهستانی فعال است و ب. $Af = 0.59Ad^{0.8}$ مربوط به جبهه‌های کوهستانی غیرفعال	سلیمانی (۱۳۷۸)
شیب مخروطافکنه	Sf	$S = cA^{-b}$	شیب مخروطافکنه است، A مساحت حوضه آبریز، و c و b ضرایب ثابت	راجوکی و چورد (۱۹۹۰)
زمین‌ساخت فعال	IAT	$IAT = S/N$	شاخص ارزیابی نسی فعالیت‌های تکتونیکی، S مجموع کلاس‌های شاخص‌های ژئومورفیک محاسبه شده، و N تعداد شاخص‌های محاسبه شده است. مقادیر عددی زیر بیانگر نوع فعالیت زمین‌ساختی است: $Iat < 1/5$ فعالیت زمین‌ساختی شدید، $< 2/5$ فعالیت زمین‌ساختی زیاد، $< 2/5$ فعالیت زمین‌ساختی $Iat < 1/5$ فعالیت زمین‌ساختی ناچیز	ال‌همدونی و همکاران (۲۰۰۸)

محدوده مورد مطالعه

حوضه‌های آبریز جنوب ارتفاعات کركس با وسعت $1246/35$ کیلومتر مربع و روند شمال غربی-جنوب شرقی در شرق استان اصفهان، بین طول‌های جغرافیایی $51^{\circ}52'$ تا $52^{\circ}05'$ درجه طول شرقی و عرض‌های جغرافیایی 32° تا درجه 33° (شکل ۳-الف) و از نظر زمین‌ساختی در زون سندنج-سیرجان و کمان مآگهانی ارومیه-دختر و بخش مرکزی سامانه گسلی QZFS در غرب شهرستان نظر واقع شده‌اند (شکل ۳-ب). قسمت‌های جنوبی کوهستان کركس در طی دوران‌های زمین‌شناسی تحت تأثیر فازهای تکنونیکی متعددی قرار داشته و حرکات پوسته‌ای زمین سبب ایجاد سیستم‌های متعدد گسلی با ویژگی‌های متعدد، فعالیت‌های آتش‌شانی، تغییرات سطوح ارتفاعی، و ... شده است. برای درک این فازهای مهم در جنوب ارتفاعات کركس، منطقه با توجه به سیستم زهکشی و آبراهه‌های موجود به ده حوضه آبریز تقسیم شده است (شکل ۴-الف). در شرق منطقه مذکور یادشده گسل راستگرد بزرگ قم-زفره با عملکرد فشاری قرار گرفته است. در جنوب ارتفاعات کركس 33 خرده گسل با جهت هات‌های مختلف شمال غربی-جنوب شرقی (۱۴)، جهت شمال شرق-جنوب غرب (۱۰)، روند شمالی-جنوبی (۵) و روند شرقی-غربی (۴) وجود دارد که در واقع بخشی از سیستم گسلی قم-زفره می‌باشد است (شکل ۴-ب).



شکل شماره ۳. (الف) نقشه موقعیت ریاضی؛ (ب) موقعیت زمین ساخت



شکل شماره ۴. (الف) نقشه حوضه‌های آبریز؛ (ب) گسل‌های جنوب ارتفاعات کركس

بحث و یافته‌ها

برای بررسی موضوع زمین ساخت فعال شواهدی زیادی وجود دارد که برخی از آن‌ها را می‌توان با شاخص‌های کمی سنجید. داده‌های حاصل امکان انجام محاسبات آماری مختلف را فراهم می‌سازد و می‌تواند جهت پهنه‌بندی مناطق مختلف و مقایسه آن‌ها با همدیگر به کار برود.

شاخص‌های ژئومورفولوژیک

به منظور شناخت ارتباط میان فعالیت‌های نوزمین ساختی و ویژگی‌های مورفومتری حوضه‌های آبریز، نخست با مشخص کردن محدوده حوضه‌های آبریز جنوب ارتفاعات کرکس با استفاده از نرم‌افزار Arc map و سپس مساحت (۱۲۵۰ کیلومتر مربع) و محیط (۵۵۴ کیلومتر) کل منطقه مطالعاتی و مساحت و محیط هر یک از حوضه‌های آبریز تعیین و الگوی شبکه هیدرولوگرافی آن‌ها ترسیم شد. الگوی شبکه هیدرولوگرافی در کوهستان کرکس از عوامل ساختمانی، حرکات تکتونیکی، و ... متأثر شده است (شکل ۳-الف). شاخص‌های ژئومورفولوژیک به شکلی کمی برخی ویژگی‌های حوضه‌های آبریز را، که متأثر از فعالیت‌های تکتونیکی‌اند، آشکار می‌کند:

۱. نسبت کشیدگی (Re): حوضه‌های آبریز واقع در مناطق فعال تکتونیکی کشیده‌تر بوده و لذا دارای نسبت کشیدگی کمتر هستند. کمترین مقدار نسبت متعلق به حوضه نیازمرغ و بیشترین متعلق به حوضه حبیب‌آباد است.
۲. نسبت انشعاب (Rb): در نواحی کوهستانی و پُرشیب حوضه‌های آبریز دارای نسبت انشعاب بالا بوده و لذا این حوضه‌ها معمولاً از لحاظ فعالیت تکتونیکی فعال‌اند (یمانی و همکاران، ۱۳۹۲: ۱۵). بیشترین مقدار نسبت انشعاب در حوضه صفائی آباد و سه و کمترین مقدار در حوضه حبیب‌آباد است.
۳. فرم حوضه (FF): فرم حوضه با ضریب کمتر بیانگر فعالیت زمین ساختی بیشتر و ضریب فرم بیشتر مبین فعالیت زمین ساختی کمتر است. کمترین میزان ضریب فوق در حوضه نیازمرغ و بیشترین مقدار در حبیب‌آباد است. (جدول ۲).

۴. شاخص انتگرال فرازنما یا هیپسومتری (Hi): هیپسومتری پارامتر مناسبی برای تشخیص مراحل توسعه یافته‌گی حوضه محسوب می‌شود (پرز-پنا، ۲۰۰۹؛ استرالر، ۱۹۵۲). منحنی فرازنما توزیع ارتفاعات در راستای عمود بر یک نقطه یا ناحیه از زمین را توصیف می‌کند که از نسبت ارتفاع نسبی کل حوضه در برابر مساحت نسبی کل حوضه برآورد و ترسیم می‌شود. یک روش ساده برای تعیین شکل منحنی فرازنما در یک حوضه آبریز محاسبه انتگرال هیپسومتری یا فرازنما برای آن حوضه است. این انتگرال به صورت مساحت زیر منحنی هیپسومتری (رابطه ۴) تعریف شده است (کلر و پینتر، ۱۹۹۶). اگرچه به ظاهر منحنی هیپسومتری با تکتونیک رابطه مستقیمی ندارد، غیرمستقیم توزیع سطوح ارتفاعی در هر یک از حوضه‌های آبریز منطقه مطالعاتی را نشان می‌دهد. در این پارامتر مقادیر بالا بیانگر مرتفع‌بودن منطقه همراه با بریدگی‌های عمیق و مقادیر پایین نشان‌دهنده ارتفاع کم و فرسوده‌بودن منطقه است. مقدار انتگرال بالاتر از ۰/۶ با منحنی محدب ناحیه و مرحله جوانی است. مقدار متوسط انتگرال در دامنه بین ۰/۳۵ تا ۰/۶ ناحیه است که در مرحله تعادل (بلوغ) قرار دارد و درنهایت مقدار کم این شاخص (کمتر از ۰/۳۵ با منحنی مقرر ویژگی مناطقی در مرحله پیری یا مونادنوک) حوضه‌های آبریز است (استرالر، ۱۹۵۲).

منحنی فرازنمای حوضه‌های آبریز نیازمرغ (۴۷، شکل ۴-ب)، سه (۴۵ شکل ۴-ج)، و مراوند (۴۴ شکل ۴-الف) بیشترین مقادیر انتگرال فرازنما را دارند. منحنی فرازنمای حوضه آبریز مراوند بیشترین حالت تحدب را دارد که بیانگر جوان‌بودن این حوضه و فعالیت تکتونیکی بیشتر نسبت به سایر حوضه‌های آبریز است. به نظر می‌رسد حوضه‌های آبریز بخش شمالی غربی منطقه مورد مطالعه (مراوند، نیازمرغ، سه) از نظر فعالیت‌های تکتونیکی نسبت به سایر حوضه‌ها فعال‌تر بوده‌اند.

۵. شاخص حجم به سطح حوضه (V/A): مقدار عددی زیاد برای این شاخص نشان‌دهنده پستی و بلندی زیاد و فعالیت‌های شدید زمین ساختی در منطقه است (هارکیز و همکاران، ۲۰۰۵). باید توجه داشت که این مقادیر نسبی بوده و بستگی به حجم ناهمواری‌های موجود در منطقه دارد. در این پژوهش، با درنظر گرفتن مطالب فوق و شرایط محلی، مقادیر بالاتر از ۱۰۰ به عنوان مناطق فعال، مقادیر بین ۱۰۰ تا ۶۰ مناطق نیمه‌فعال، و مقادیر کمتر از ۶۰ برای مناطق با

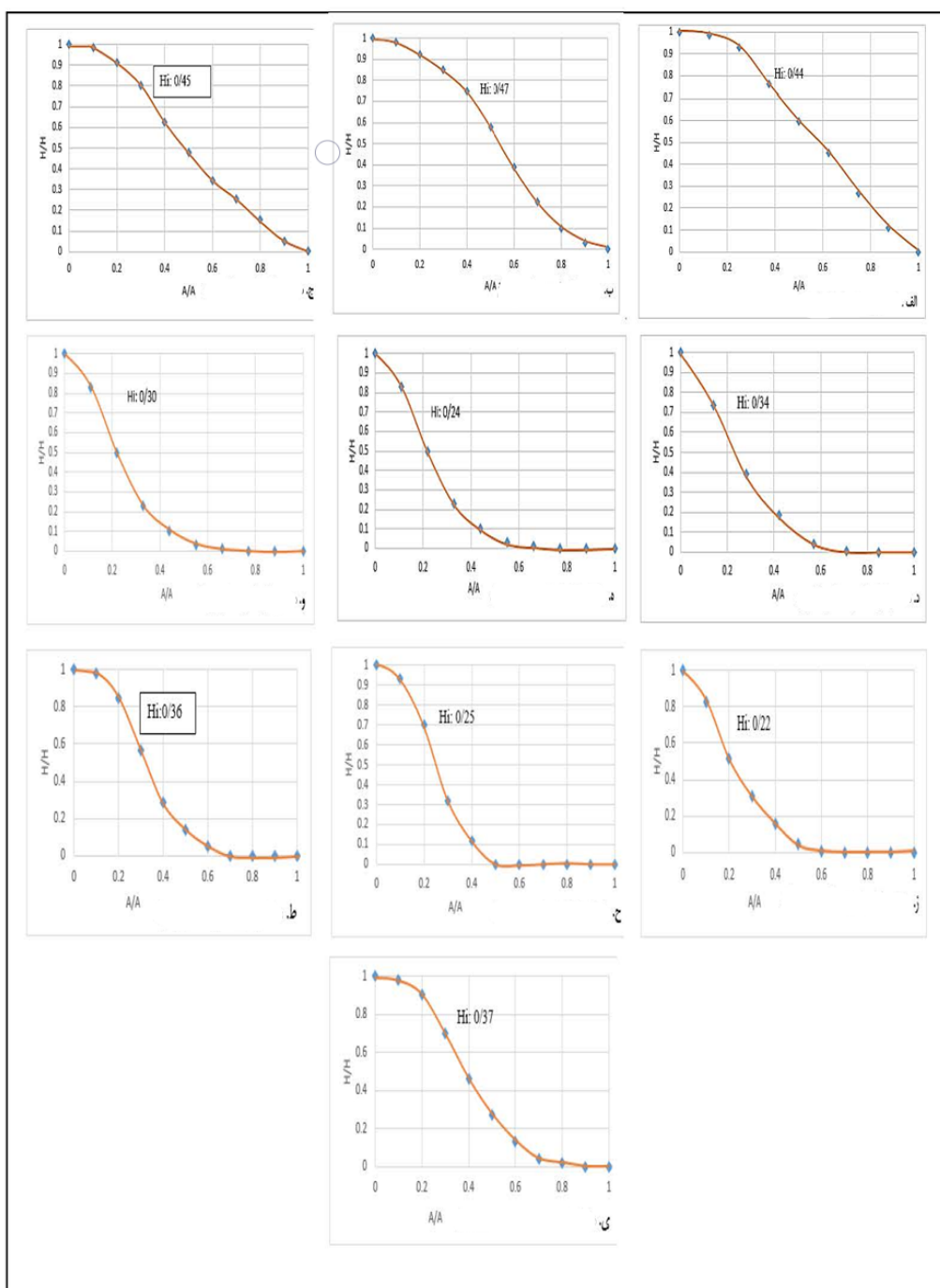
فعالیت کم در نظر گرفته شده است. مقدار کل این شاخص در منطقه ۷۷/۴۳ است که در رده نیمه‌فعال از نظر فعالیت‌های تکتونیکی قرار می‌گیرد.

۶. شاخص تقارن توپوگرافی عرضی (T): برای ارزیابی نامتقارن بودن حوضه‌های آبریز و بررسی تکتونیک فعال شاخص تقارن توپوگرافی عرضی به کار گرفته می‌شود. در اصل T برداری با جهت‌گیری خاص و با مقادیری از صفر تا یک است که مقادیر عددی نزدیک به ۱ می‌تواند بیانگر فعالیت فرایشی باشد (سلیمانی، ۱۳۷۸: ۶۴). کمترین میزان انحراف (۰/۳) متعلق به حوضه آبریز آب‌سنجد و بیشترین آن (۰/۸۸) در حوضه آبریز رباط است. انحرافات فوق می‌توانند ناشی از فعالیت‌های تکتونیکی یا نوع آرایش ساختمان زمین‌شناسی منطقه باشد. حوضه‌های آبریز بر اساس مقادیر شاخص T به سه دسته تقسیم شدنند: فعال (بیشتر از ۰/۵۰)، نیمه‌فعال (بین ۰/۳۰-۰/۵۰)، و با فعالیت کم (کمتر از ۰/۳۰). بنابراین، حوضه‌های آبریز مراوند، نیازمرغ، سه، کلهرود، و رباط فعال‌اند، حوضه‌های آبریز صفی‌آباد، مرغ، پناوند، و حبیب‌آباد نیمه‌فعال، و حوضه آبریز آب‌سنجد با فعالیت کم.

۷. شاخص گرادیان شبیب رودخانه: به تغییرات شبیب رودخانه بسیار حساس است. این حساسیت برآورد میزان روابط موجود بین فعالیت‌های تکتونیکی، مقاومت سنگ، و توپوگرافی را امکان‌پذیر می‌کند (یمانی، ۱۳۸۹: ۷۸). مقادیر شاخص SL در مناطق فعال تکتونیکی بالا بوده (کلر و پینتر، ۱۹۹۶: ۱۹۰) و هرچه مقادیر آن بیشتر باشد تکتونیک آن منطقه فعال‌تر است. مقادیر این شاخص از حداقل ۰/۰۶ در حوضه آبریز آب‌سنجد تا حداًکثر ۰/۵۵ در حوضه آبریز حبیب‌آباد متغیر بوده است که تفاوت یادشده می‌تواند ناشی از تغییرات لیتوژئوگرافی، وجود گسل، و تداوم فعالیت‌های تکتونیکی در منطقه باشد (جدول ۲). بر اساس همین مقادیر، حوضه‌ها به سه دستهٔ فعال (با مقدار گرادیان شبیب رودخانه بالاتر از ۰/۳۰)، نیمه‌فعال (با مقدار گرادیان شبیب رودخانه بین ۰/۲۰ تا ۰/۳۰)، و با فعالیت کم (با مقدار گرادیان شبیب کمتر از ۰/۲۰) تقسیم شدنند. بنابراین، حوضه‌های آبریز سه، کلهرود، صفی‌آباد، و حبیب‌آباد و حوضه‌های آبریز مراوند، نیازمرغ، رباط، مرغ، و پناوند نیمه‌فعال، و حوضه آبریز آب‌سنجد با فعالیت کم در نظر گرفته می‌شوند.

جدول ۲. شاخص‌های ژئومورفولوژیک حوضه‌های آبریز منطقهٔ مطالعاتی

Sf	Af	Bs	Smf	S	SL	T	Re	Va	Hi	فرم حوضه (FF)	نسبت انشعابات (Rb)	نسبت کشیدگی (Re)	محیط (P)	مساحت (A)	شاخص نام حوضه
۲/۱	۳۳/۸۷	۲/۷۱	۱/۰۹	۱/۰۳	۲۷۲/۵۹	۰/۵۰	۰/۷۲	۶۲/۰۱	۰/۴۴	۰/۴۱	۳/۷۲	۰/۷۲	۴۸	۶۷/۵	مراوند
۴/۰۷	۳۶/۹۳	۴/۸۵	۱/۱۰	۱/۰۳	۲۴۰/۱۹	۰/۵۳	۰/۴۷	۷۷/۸۳	۰/۴۷	۰/۱۸	۴/۰۸	۰/۴۷	۵۷	۷۹	نیازمرغ
۲/۳	۴۸/۵۷	۲/۰۶	۱/۱۱	۱/۰۳	۲۸۳/۵۱	۰/۵۶	۰/۷۲	۱۲۱/۴۹	۰/۴۵	۰/۴۱	۴/۷۶	۰/۷۲	۵۵	۱۳۰	سه
۱/۹	۴۶/۰۵	۱/۲۶	۱/۳۱	۱/۰۳	۳۳۴/۰۵	۰/۵۱	۰/۹۲	۹۸/۴۹	۰/۳۴	۰/۶۷	۳/۶۰	۰/۹۲	۵۵	۱۱۸	کلهرود
۱/۹	۴۶/۴۸	۱/۰۵	۱/۱۷	۱/۰۵	۱۹۰/۰۶	۰/۳	۰/۸۸	۲۷/۰۰۴	۰/۲۴	۰/۶۱	۳/۳۷۵	۰/۸۸	۴۹	۱۲۰	آب
															ستجد
۱/۷	۵۴/۲۶	۱/۳۵	۱/۱۵	۱/۰۲	۲۱۲/۵۹	۰/۸۸	۰/۷۷	۲۰/۳۸	۰/۳۰	۰/۴۶	۲/۴۶	۰/۷۷	۶۱	۱۵۹	رباط
۱/۴	۴۱/۵۸	۱/۸۶	۱/۲۱	۱/۰۴	۳۳۴/۸۱	۰/۳۷	۰/۷۲	۵۲/۹۸	۰/۲۲	۰/۴۱	۵/۳۷۵	۰/۷۲	۴۸	۹۸	صفی-آباد
۱/۴	۴۹/۵۹	۲/۳۷	۱/۰۶	۱/۰۴	۲۶۶/۵	۰/۲۶	۰/۶۲	۱۲۲/۰۹	۰/۲۵	۰/۳۱	۲/۸۰۵	۰/۶۲	۵۰	۱۳۵	مرغ
۱/۶	۵۷/۹۱	۲/۳۹	۱/۱۴	۱/۰۳	۲۲۸/۳۱	۰/۳۴	۰/۷۵	۱۰۹/۳۲	۰/۳۶	۰/۴۵	۳/۱۳۵	۰/۷۵	۷۰	۱۷۹	پناوند
۱/۵	۵۵/۲۸	۰/۹۸	۱/۷۴	۱/۰۸	۳۸۳/۵۵	۰/۴۶	۱/۲۰	۸۱/۷۸	۰/۳۷	۱/۱۳	۲/۷۹۷	۱/۲۰	۶۱	۱۶۴/۵	حبیب‌آباد
۱/۹۸۷	۴۷/۰۵۲	۲۱/۳۳	۱/۲۷۸	۱/۰۳۸	۲۸۴/۶۲	۰/۴۸۱	۷/۷۷	۷۷/۴۳	۰/۳۴۴						کل منطقه



شکل شماره ۵. منحنی‌های فرازنمای حوضه‌های آبریز منطقهٔ مطالعاتی: (الف) مراند؛ (ب) نیازمرغ؛ (ج) سه؛ (د) کلهرود؛ (م) آبسنجد؛ (و) رباط؛ (ز) صفائی‌آباد؛ (ح) مرغ؛ (ط) پناوند؛ (ی) حبیب‌آباد

۸. شاخص پیچ و خم رودخانه (S): مستقیم بودن رودخانه بیشتر گویای جوان بودن منطقه و فعالیت نئوتکتونیک است. بنابراین، هر چه مقادیر عددی به دست آمده از این شاخص زیاد باشد، حاکی از نزدیک شدن رودخانه به حالت تعادل است و هر چه کمتر باشد، نشان‌دهنده‌هی فعال بودن تکتونیک در منطقه است (کلر و همکاران، ۲۰۰۲). هرگاه مقدار این شاخص از یک دور شود بیانگر کاهش در فعالیت تکتونیکی منطقه است. در این تحقیق محدودهٔ بین $1/10^3$ - $1/10^5$ برای مناطق فعال، $1/10^5$ - $1/10^3$ برای مناطق نیمه فعال، و مقادیر بیش از $1/10^5$ برای مناطقی با فعالیت کم در نظر گرفته شده است. حداقل و حداکثر عدد به دست آمده برای این شاخص به ترتیب $1/10^2$ برای حوضهٔ آبریز رباط و $1/10^8$ در حوضهٔ آبریز حبیب‌آباد بوده است (جدول ۲). بنابراین، می‌توان نتیجه گرفت که نیروهای درونی و زمین‌ساختی در تحول مورفولوژی منطقه نقش بسزایی داشته و منطقهٔ مورد مطالعه از نظر تکتونیکی فعال و به حالت تعادل نرسیده

است.

۹. شاخص پیچ و خم پیشانی کوهستان (Smf): در این شاخص با اندازه‌گیری پیچ و خم‌های ایجاد شده توسط آبراهه‌ها در جبهه‌های کوهستان و تقسیم آن بر طول افقی در راستای گسل و جبهه‌های کوهستان، می‌توان وضعیت یک منطقه را از نظر فعل بودن تکتونیکی مشخص کرnomod (کلر و پینتر، ۱۹۹۶: ۱۳۸). این شاخص تعادل و توازن میان نیروهای فرسایشی را نشان می‌دهد که سعی در ایجاد فرسایش سطوح کوهستانی و نیروهای تکتونیکی را که باعث ایجاد جبهه‌ای صاف و مستقیم در طول گسل می‌شود دارند را نشان داده؛ یعنی اگر در تکتونیک فعل حضور داشته باشد و منطقه در حال بالا آمدگی باشد، مقادیر کم اندیس Smf و در صورت غلبه فرایندهای فرسایش بر این جبهه مقادیر بالای Smf مشاهده می‌شود. نتایج حاصل از اندازه‌گیری شاخص سینوزیتئه جبهه کوهستان در منطقه مطالعاتی نشان می‌دهد که تقریباً تمامی سراسر منطقه از نظر تکتونیکی فعل است. هر چند که کمترین میزان SSmf در دامنه‌های بخش شمالی در حوضه‌های آبریز مراوند با مقدار ۰/۱۰ می‌باشد است که احتمالاً ناشی از وجود گسل‌های متعدد در این حوضه‌های آبریز حبیب‌آباد با مقدار ۰/۷۴ می‌باشد است (جدول ۲). در این ناحیه، علیرغم به رغم وجود فعالیت‌های فرسایشی و برخی ساختارهای نه چندان مقاوم زمین شناسی، فعالیت‌های زمین‌ساختی همچنان در حال آمدگی منطقه و ایجاد جبهه‌های کوهستانی نسبتاً خطی و مستقیم مؤثرند می‌باشند.

۱۰. شاخص نسبت شکل حوضه (BS): مقادیر بالاتر این شاخص حوضه‌هایی، با فعالیت‌های متوسط زمین‌ساختی را نشان می‌دهد و با توقف فعالیت یا غلبه فرایندهای فرسایشی، شکل حوضه به تدریج در طی زمان دایره می‌شود و شاخص کاهش می‌یابد ($BS < 3$) بر اساس طبقه‌بندی ال‌همدونی (۰۰۰: ۱۵۰)، مقادیر زیاد شاخص شکل حوضه ($BS > 4$) حوضه‌های طولی با زمین‌ساخت فعل ($BS > 3 < 4$)، حوضه‌هایی با فعالیت متوسط زمین‌ساختی و مقادیر پایین ($BS < 3$) حوضه‌های دایره‌ای شکل‌اند می‌باشند. محاسبه ایه این شاخص به سهولت امکان پذیر بوده و با اندازه‌گیری طول و عرض هر حوضه و تقسیم آن‌ها بر یکدیگر انجام صورت می‌گیرد. مقادیر این شاخص از حداقل ۰/۹۸ در حوضه آبریز حبیب‌آباد تا حداقل ۰/۴۵ در حوضه آبریز نیاز مرغ متغیر است. با مبنای قرار دادن طبقه‌بندی ال‌همدونی در منطقه مورد مطالعه، حوضه آبریز نیاز مرغ با مقدار بیش از ۰/۴۵ فعل بوده و دیگر حوضه‌های آبریز با مقادیر کمتر از ۰/۳ مناطق با فعالیت کم محسوب می‌شوند.

۱۱. شاخص وسعت مخروطافکنه (Af): در شکل‌گیری و گسترش مخروطافکنه‌ها عوامل متعددی دخالت دارند که تکتونیک یکی از مهم‌ترین این عوامل است (تفیان، ۱۳۸۸: ۷۸). برای تعیین میزان شاخص وسعت مخروطافکنه در جبهه کوهستانی فعل از رابطه ($Af = 3.34Ad0.55$) و رابطه ($Af = 0.59Ad0.8$)، که بیانگر مخروطافکنه‌هایی است که در مناطقی با آرامش تکتونیکی نسبتاً بیشتر تشکیل شده‌اند، استفاده و هر دو معادله برای منطقه‌های مورد مطالعه محاسبه شده است. نرخ فرسایش در همه حوضه‌ها بالا بوده؛ در نتیجه مخروطافکنه‌ها توانسته‌اند در شرایط تقریباً آرام تکتونیکی ایجاد شوند و توسعه یابند. از نظر آماری، ارتباط معنی‌داری بین مساحت مخروطافکنه و مساحت حوضه‌های آبریز وجود ندارد و مقایسه میزان مساحت حوضه به مساحت مخروط بیانگر آن است که مساحت مخروطافکنه‌های منطقه، برخلاف معمول، تابعی از مساحت حوضه‌های تأمین‌کننده خود نیستند و عوامل دیگری می‌توانند در ایجاد و توسعه یه آن‌ها دخالت مؤثری داشته باشند. این عدم تابعیت را، نسبت مساحت مخروط‌ها به مساحت حوضه‌هایشان نیز به خوبی نشان می‌دهد. کمترین مقدار این نسبت متعلق به بزرگ‌ترین حوضه منطقه، یعنی حوضه آبریز پناوند، با ۰/۸۱ می‌باشد است. بیشترین مقدار متعلق به کوچک‌ترین حوضه منطقه، یعنی حوضه آبریز نیاز مرغ، با عدد ۳/۱۷ می‌باشد است (جدول ۳).

۱۲. شاخص شب مخروط افکنه (SF): عامل تکتونیک از طریق تأثیرگذاری در محل استقرار مخروطافکنه‌ها، تأثیر در

شیب حوضه‌آبریز و انحراف و افزایش رسوب‌دهی رودخانه نقش خود را در شکل‌گیری و گسترش مخروط‌ها ایفا می‌کند (رضایی مقدم و همکار‌احمدی، ۱۳۸۵).

جدول شماره ۳. شاخص وسعت و شیب مخروط‌افکنه‌ها در منطقه مطالعاتی

نام حوضه	$Af = 3.34Ad^{0.55}$	$Af = 0.59Ad^{0.8}$	مساحت به دست آمده برای مخروط افکنه‌ها از طریق رابطه‌ها			
			مساحت اندازه گیری شده مخروط‌افکنه از روی تصویر ماهواره‌ای	مساحت حوضه مخروط به مساحت حوضه	نسبت مساحت مساحت مساحت	شیب حوضه (درصد)
مراوند	۳۳/۸۷	۱۷/۱۵	۱۰۲۴	۶۷/۵	۱/۵۱	۲۲/۸
نیاز مرغ	۳۶/۹۳	۱۹/۴۵	۲۵۰۹	۷۹	۳/۱۷	۲۴/۷
سه	۴۸/۵۷	۲۸/۹۷	۲۳۸/۴	۱۳۰	۱/۸۳	۲۸/۷
کله‌رود	۴۶/۰۵	۲۶/۸۱	۲۶۱/۳	۱۱۸	۲/۲۱	۲۴/۲
آب سنجد	۴۶/۴۸	۲۷/۱۷	۱۰۳۳	۱۲۰	۰/۱۶	۱۲/۸
رباط	۵۴/۲۶	۳۴/۰۳	۱۵۲	۱۵۹	۰/۹۵	۱۵/۳
صفی آباد	۴۱/۵۸	۲۳/۱۱	۹۷/۱۲	۹۸	۰/۹۹	۱۴/۲
مرغ	۴۹/۵۹	۲۹/۸۶	۱۲۱/۷	۱۳۵	۰/۹۰	۱۴
پناوند	۵۷/۹۱	۳۷/۴۲	۱۴۵/۲	۱۷۹	۰/۸۱	۱۹/۴
حبیب آباد	۵۵/۲۸	۳۶/۹۷	۲۰۳/۱۲	۱۶۴/۵	۱/۱۳	۱۸/۹

به اعتقاد راچوکی و چورد (۱۹۹۰)، زاویه شیب مخروط‌افکنه در ارتباط با ویژگی رودخانه‌های آن‌ها تعیین می‌شود. به همین دلیل، وی رودخانه‌ها و مخروط‌افکنه‌های مربوط را بر حسب شیب به شرح جدول ۴ طبقه‌بندی کرده است. برای تعیین میزان این تأثیر در منطقه ارتباط بین مساحت مخروط‌افکنه‌ها و شیب حوضه‌های آبریز از رابطه ۱۲ در جدول ۱ استفاده شده است. نتایج بدست آمده (جدول ۴) بیانگر این است که از نظر آماری ارتباط معنی‌داری بین شیب مخروط‌افکنه‌ها و شیب حوضه‌های آبریز وجود ندارد، اما این مقدار دلیلی بر رد تأثیر و نقش شیب حوضه در مساحت مخروط نیست، بلکه بیانگر این است که عوامل دیگری وجود دارند که نقش مؤثرتری در ایجاد مخروط‌ها داشته‌اند. بر این اساس، مخروط‌افکنه‌های منطقه مورد مطالعه را به سه گروه فعال، نیمه‌فعال، و با فعالیت کم تقسیم کرده که گروه اول شامل مخروط‌افکنه‌های مراوند، نیاز مرغ، و سه است. مخروط‌هایی فعال درنظر گرفته شده‌اند که متوسط شیب حوضه و مخروط‌های این گروه به ترتیب $25/40$ و $2/82$ است. وسعت مخروط‌های این گروه زیاد بوده؛ به‌گونه‌ای که میانگین نسبت مساحت مخروط به مساحت حوضه حدود $2/17$ است که وسعت زیاد مخروط‌ها می‌تواند متأثر از دو عامل ضخامت کم مخروط‌ها و فرایش بیشتر حوضه‌ها و مخروط‌ها باشد. گروه دوم شامل مخروط‌های کله‌رود، آب‌سنجد، رباط، پناوند، و حبیب‌آباد است. این گروه نیمه‌فعال بوده و متوسط شیب این مخروط‌ها $1/72$ درصد و متوسط شیب حوضه‌های آن‌ها $18/11$ درصد است. متوسط نسبت مساحت مخروط به مساحت حوضه $1/21$ است که نسبت به گروه اول کمتر بوده و ناشی از تأثیر کمتر فعالیت‌های تکتونیکی در این مخروط‌هاست. گروه سوم مخروط‌افکنه‌های صفائی‌آباد و مرغ است که با میزان فعالیت کم درنظر گرفته شده‌اند. متوسط شیب این مخروط‌ها $1/4$ درصد و متوسط شیب حوضه‌های آن‌ها $14/1$ درصد است. متوسط نسبت مساحت مخروط به مساحت حوضه $0/945$ است که نسبت به گروه دوم کمتر است و ناشی از فعالیت‌های تکتونیکی کمتر در این حوضه‌هاست.

جدول شماره ۴. انواع رودخانه‌ها و مخروط‌ها بر حسب شیب (راچوکی و چورد، ۱۹۹۰)

رودخانه	شیب بر حسب درجه	مخروط افکنه	شیب بر حسب درجه	شیب حوضه
دائمی بزرگ	۲	شیب دار	> ۱۵	> ۱۵
دائمی کوچک	۲ - ۱۰	ملايم	۲ - ۵	۲ - ۵
موقتی	> ۲۵	سطح	< ۲	< ۲

۱۳. ترکیب شاخص‌ها و محاسبه نسبی زمین‌ساخت فعال (Iat): با استفاده از شاخص Iat، نتایج شاخص‌های محاسبه شده با یکدیگر ترکیب می‌شود تا وضعیت نئوتکنونیک حوضه‌های موربدرسی مشخص شود (ال‌همدونی و همکاران، ۲۰۰۸). برای محاسبه این شاخص، نه شاخص محاسبه شده در حوضه‌های آبریز منطقه مطالعاتی از نظر میزان فعالیت به سه کلاس تقسیم شد. در این تقسیم‌بندی، طبق نظر ال‌همدونی، کلاس ۱ با مقادیر عددی $1/5 < 1$ فعالیت زمین‌ساختی شدید، کلاس ۲ با مقادیر عددی $2/5 < 5/1$ فعالیت زمین‌ساختی زیاد، و کلاس ۳ با مقادیر عددی $2/5 < Iat < 1/93$ فعالیت زمین‌ساختی کم و ناچیز مشخص شده است. مقدار شاخص Iat در کل منطقه مطالعاتی $1/93$ است که بیانگر فعالیت زمین‌ساختی زیاد است. حوضه‌های آبریز منطقه مطالعاتی از نظر میزان فعالیت به سه گروه زیر تقسیم شدند: ۱. مراوند، نیازمرغ، و سه با مقادیر عددی کمتر از $1/5$ دارای فعالیت زمین‌ساختی شدید، ۲. حوضه‌های آبریز کله‌رود، ریاط، و پناوند با مقادیر عددی ۲ دارای فعالیت زمین‌ساختی زیاد، و ۳. حوضه‌های آبریز آب‌سنجد، صفائی‌آباد، مرغ، و حبیب‌آباد با مقادیر عددی بیشتر از ۲ دارای فعالیت زمین‌ساختی کم و ناچیز.

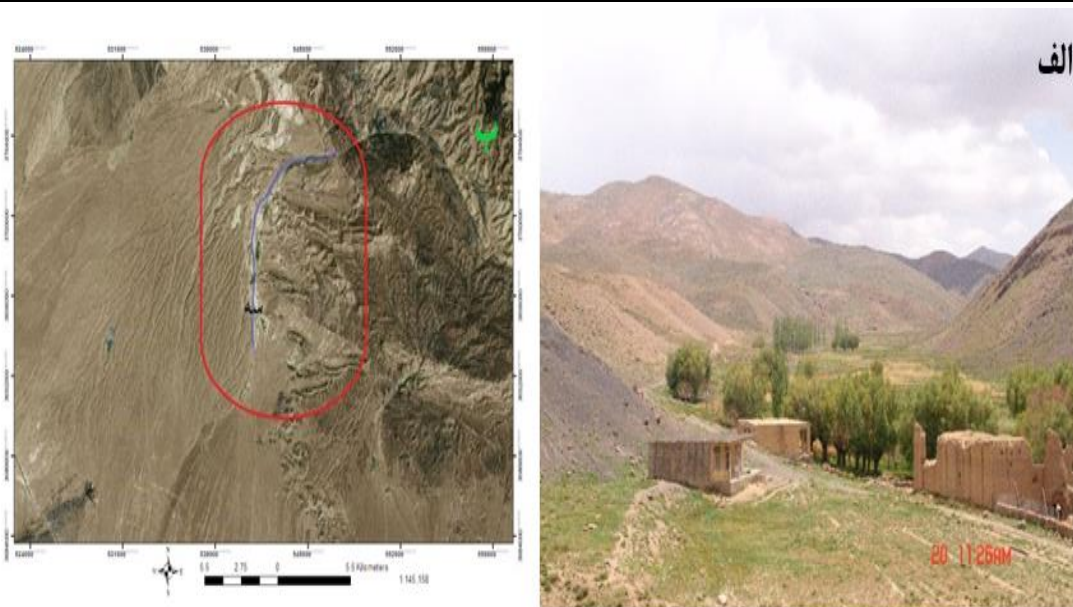
جدول ۵. ترکیب شاخص‌ها و محاسبه نسبی زمین‌ساخت فعال (Iat)

شاخص نام حوضه	Iat	Sf	Af	Bs	Smf	S	SL	T	V/a	Hi
مراوند	۱/۴	۱	۱	۳	۱	۱	۲	۱	۲	۱
نیازمرغ	۱/۲	۱	۱	۱	۱	۱	۲	۱	۲	۱
سه	۱/۳	۱	۱	۳	۲	۱	۱	۱	۱	۱
کله‌رود	۱/۷	۲	۲	۳	۲	۱	۱	۱	۲	۲
آب‌سنجد	۲/۶	۲	۲	۳	۲	۲	۳	۳	۳	۳
رباط	۲	۲	۲	۳	۲	۱	۲	۱	۳	۲
صفی‌آباد	۲/۴	۳	۳	۳	۲	۲	۱	۲	۳	۳
مرغ	۲/۵	۳	۳	۳	۳	۲	۲	۲	۱	۳
پناوند	۱/۶	۲	۲	۳	۲	۱	۲	۲	۱	۲
حبیب‌آباد	۲	۲	۲	۳	۳	۳	۱	۲	۲	۲
کل منطقه	۱/۹۳	۱/۹	۱/۹	۲/۸	۲	۱/۵	۱/۷	۱/۶	۲	۲

شواهد ژئومورفولوژیک

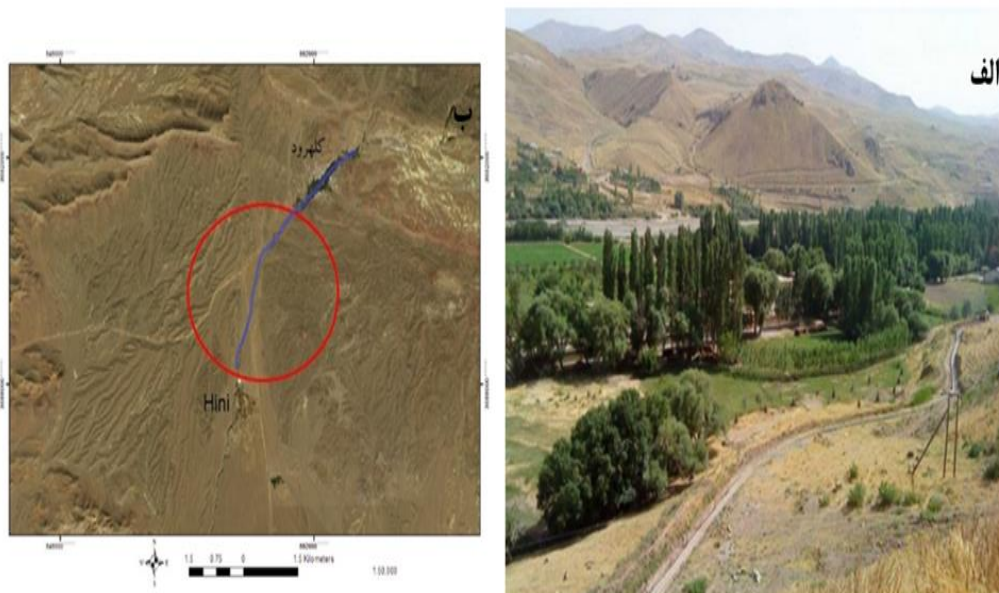
از جمله شواهد ژئومورفولوژیک موجود در منطقه مطالعاتی، علاوه بر نزدیکی به گسل قم-زفره، وجود گسل‌های متعدد (۳۳ خردہ کل)، دره‌ها، و کانال‌های رودخانه‌ای عمیق (رودخانه‌های سه و کله‌رود)، مخروطافکنه‌های متوالی، تراس‌های رودخانه‌ای، تغییر مسیر، و جابه‌جایی برخی رودخانه‌ها را می‌توان نام برد.

رودخانه سه تا نزدیکی روستای سه در دره‌ای عمیق در مسیری شرقی-غربی جریان دارد و پس از آن، با یک چرخش، مسیری شمالی-جنوبی می‌یابد (شکل ۶-الف). این چرخش مسیر می‌تواند ناشی از فرایش بیشتر بخش شمال غربی ارتفاعات کرکس باشد که مانند یک مانع در برابر رودخانه عمل کرده و رودخانه را مجبور به تغییر مسیر کرده است (شکل ۶-ب). وجود دره‌ای نسبتاً عمیق و بزرگ در مخروطافکنه قدیمی سه احتمالاً حاکی از تغییر مسیر و تغییر بستر رودخانه سه در گذشته است (شکل ۸-ب).



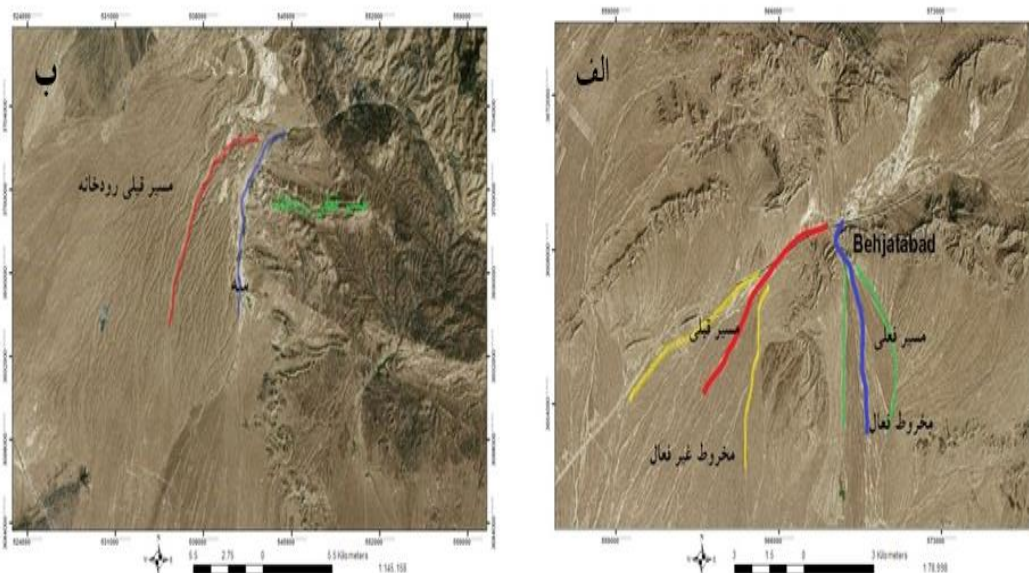
شکل شماره ۶. (الف) دره رودخانه سه؛ ب) تغییر و انحراف مسیر رودخانه سه به سمت جنوب

رودخانه کلهرود نیز وضعیتی مشابه دارد. دره رودخانه کلهرود در ارتفاع ۲۳۲۰ متری نسبتاً عمیق و با عرض کم بوده (شکل ۷-الف) و جهتی شمال شرق-جنوب غرب دارد. این رودخانه در ادامه در جنوب غربی روستای کلهرود از کوهستان خارج شده و با یک چرخش جهتی شمالی-جنوبی به خود می‌گیرد (شکل ۷-ب). در ارتفاع ۲۲۰۰ متری دره شکل طشتکی با عرض زیاد و عمق کم به خود گرفته که داخل آن تراس‌های رودخانه‌ای تشکیل شده است.



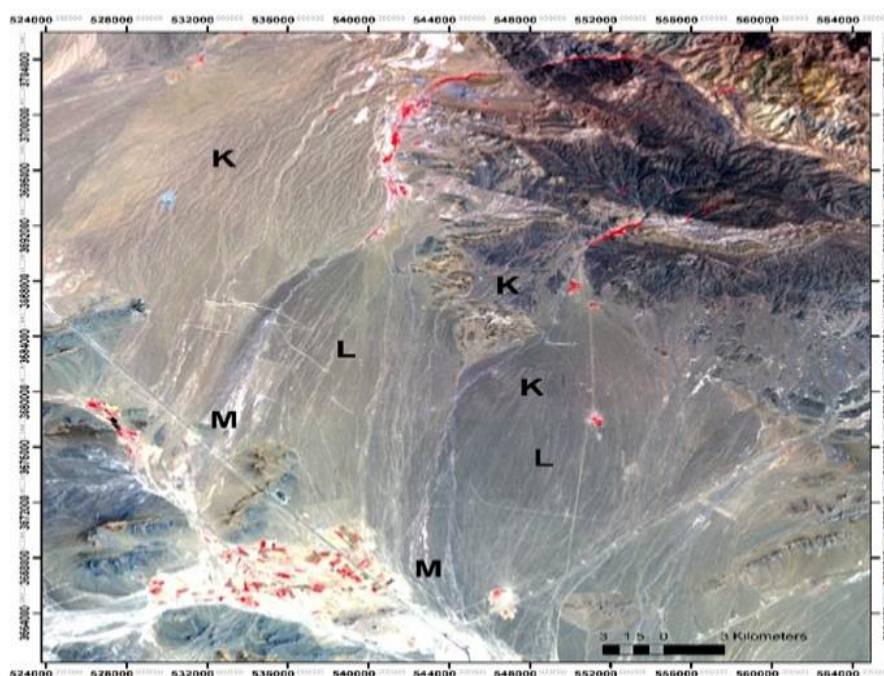
شکل شماره ۷. (الف) دره رودخانه کلهرود؛ ب) تغییر مسیر رودخانه کلهرود

رودخانه ریاط ابتدا جهتی شرقی-غربی دارد، ولی در غرب به جت‌آباد با بررش در ارتفاعات تغییر مسیر می‌دهد و به سمت جنوب جاری می‌شود (شکل ۸-الف).



شکل شماره ۸. (الف) تغییر بستر رودخانه رباط؛ (ب) تغییر بستر رودخانه سه

یکی دیگر از شواهد ژئومورفولوژیکی موجود در منطقه تقطیع و توالی مخروط‌افکنه‌هاست؛ به‌گونه‌ای که مخروط‌های پیر و قدیمی، (غیرفعال)، مخروط‌های نیمه‌فعال، و مخروط‌های فعال در ناحیه سه قابل مشاهده است. در ناحیه کلهرود آثار مخروط‌افکنه قدیمی تا حدود زیادی از بین رفته و بخش‌های محدودی از آن بر جای مانده است. هر چه به سمت جنوب شرق پیش رویم آثار مخروط‌های قدیمی کمتر مشاهده می‌شود یا اصلاً مشاهده نمی‌شود (شکل ۹).



شکل شماره ۹. مخروط‌افکنه‌های سه و کلهرود. K غیرفعال، L نیمه‌فعال، و M فعال

ارتفاعات کرس و اطراف آن از نظر لرزه‌خیزی منطقه‌ای فعال بوده‌اند؛ به‌گونه‌ای که در سیصد سال گذشته حدود شش زلزله بیش از ۴ ریشتر ثبت شده که آخرین آن در سال ۱۳۹۵ در حوضه حبیب‌آباد رخ داده است. تعداد ۱۲۵۰ زلزله در شبکه لرزه‌نگاری اصفهان (ایستگاه‌های کلهرود، زفره، نایین، قارنه، و پیرپیر) طی یک دوره چهارساله (۲۰۰۸-۲۰۰۴) ثبت شده است. توان لرزه‌زایی گسل قم-زفره حدود هفت ریشتر برآورد شده است (ریاضی راد و جوان دولویی، ۱۳۸۷).

با توجه به مقادیر شاخص‌ها و شواهد ژئومورفیک و داده‌های زمین‌لرزه‌ای، چنین به نظر می‌رسد که منطقه از نظر تکتونیکی فعال بوده و این فعالیت در حوضه‌های مراوند، نیاز مرغ، سه، و کلهرود شدیدتر بوده است. شدت فعالیت‌های تکتونیکی از شمال غرب به جنوب شرق کاهش می‌یابد. بنابراین، می‌توان منطقه را از نظر شدت فعالیت به دو بخش شمال غربی و جنوب شرقی تقسیم کرد.

تأثیر فعالیت‌های تکتونیکی بر تحولات حوضه‌های آبریز

- مسیر رودخانه‌ها در بخش کوهستانی با تبعیت از ساختمان زمین یا ساختار تکتونیکی تقریباً روند شرقی- غربی یا شمال شرق- جنوب غرب دارند، ولی پس از خروج از کوهستان تحت تأثیر فرایش بخش شمالی به سمت جنوب چرخش پیدا می‌کنند و جهتی شمالی- جنوبی به خود می‌گیرند (شکل‌های ۶- ب، ۷- ب).
- برخی از رودخانه‌ها (سه، کلهرود، و رباط)، بر اثر فرایش بیشتر بخش شمال غربی، به سمت شرق منحرف و جابه‌جا شده‌اند (شکل ۸- الف و ۸- ب).
- در بخش شمال غربی، به علت فرایش بیشتر، مخروط‌افکنه‌های متوالی تشکیل شده؛ در صورتی که در جنوب بخش شرقی شواهدی از آن مشاهده نمی‌شود (شکل ۹).
- شبیح حوضه‌ها و آبراهه‌های بخش شمال غربی بیش از دو برابر شبیح آن‌ها در بخش جنوب شرقی است که می‌تواند متأثر از حرکات تکتونیک باشد. متوسط شبیح حوضه‌ها در بخش شمال غربی ۲۵ درصد و در بخش جنوب شرقی ۱۲/۷ درصد و متوسط شبیح آبراهه‌ها در بخش شمال غربی ۲۰/۷۵ و در بخش جنوب شرقی ۸/۱ درصد است.
- در بخش شمال غربی قدرت فرسایش رودخانه‌ها بیشتر شده؛ به گونه‌ای که رودخانه‌ها توانسته‌اند دره‌های عمیق‌تری (دره سه و کلهرود) ایجاد کنند. در صورتی که در بخش جنوب شرقی معمولاً عرض دره‌ها نسبت به عمق آن‌ها بیشتر است. شاخص Vf در بخش شمال غربی ۱/۷ و در بخش جنوب شرقی ۸ است.

نتیجه‌گیری

مقادیر حاصل از پارامترهای ژئومورفیک بیانگر نسبت کشیدگی کم، نسبت انشعاب زیاد و ضریب فرم کم، حوضه‌ها است. در پارامتر نسبت کشیدگی و ضریب فرم حوضه، حوضه آبریز نیاز مرغ، در نسبت انشعاب حوضه‌های آبریز سه و صفوی‌آباد نسبت به سایر حوضه‌ها فعالیت بیشتری داشتند. شاخص Iat محدوده مطالعاتی ۱/۹۳ است که در حوضه‌های آبریز از ۱/۲ تا ۲/۶ متغیر است. دره‌ها عمیق رودخانه (سه، کلهرود، نیاز مرغ، و پناوند)، مخروط‌های متوالی و تقطیع شده (رودخانه‌ها سه و کلهرود)، تراس‌های رودخانه‌ای، انحراف مسیر و بستر رودخانه‌ها (سه، کلهرود و رباط) و گسل‌های فراوان، شواهد ژئومورفولوژیک مؤید متأثر شدن ویژگی‌های حوضه‌های از حرکات تکتونیکی منطقه‌اند می‌باشند.

نتایج شاخص‌ها و شواهد ژئومورفولوژیک و داده‌های لرزه نگاری منطقه نشان می‌دهد که حوضه‌های آبریز از نظر فعالیت‌های تکتونیکی فعال بوده‌اند، اما شدت فعالیت‌های تکتونیکی در منطقه یکسان نبوده است و میزان آن از شمال غرب به جنوب شرق کاهش می‌یابد. تأثیر فعالیت‌های تکتونیکی در حوضه‌های شمال غربی بیش از جنوب شرقی بوده است. این فعالیت‌ها باعث تعمیق دره‌ها تغییر مسیر و بستر، افزایش شبیح بعضی از رودخانه‌ها، افزایش توان فرسایشی آن‌ها، و تقطیع و توالی مخروط افکنه‌ها شده است.

تقدیر و تشکر

بنا به اظهار نویسنده مسئول، این مقاله حامی مالی نداشته است.

منابع

- (۱) بهرامی، ش. (۱۳۹۲). معرفی روش کمی جهت بررسی ناهنجاری سلسله‌مراتبی شبکه زهکشی و ارتباط آن با تکتونیک (مطالعه موردی: حوضه آبخیز زاگرس)، بیستمین همایش ملی ژئوماتیک، ۹۲۸-۹۱۴.
- (۲) پروین، منصور. (۱۳۹۹). ارزیابی تکتونیک فعال حوضه رودخانه کرد غرب با استفاده از تحلیل ویژگی‌های شبکه زهکشی.
- (۳) تقیان، ع.ر. (۱۳۸۸). تحلیل سیستم‌های شکل‌زای کواترنری در دامنه‌های کرکس، رساله دکتری، استاد راهنمای مجتبی یمانی، دانشگاه تهران.
- (۴) جباری، ن؛ ثروتی، م. و حسین‌زاده، م. (۱۳۹۱). مطالعه مورفو-تکتونیک فعال حوضه آبریز حصارک (شمال غرب تهران) با استفاده از شاخص‌های مورفومتریک. پژوهش‌های ژئومورفولوژی کمی، ۱ (۲۶)، ۳۴-۱۷.
- (۵) حبیبالهیان، م. و رامشت، م.ح. (۱۳۹۱). کاربرد شاخص‌های ارزیابی تکتونیک جنبه در برآورد وضعیت تکتونیک فعال در برآورد وضعیت تکتونیکی بخش علیای زاینده‌رود. جغرافیا و توسعه، ۱۰ (۲۶)، ۹۹-۱۱۲.
- (۶) حسامی، خ. و طبسی، م. (۱۳۸۵). گسل رازک و عوارض ریخت‌زمین‌ساختی مرتبط با آن. پژوهشنامه پژوهشگاه زلزله‌شناسی و مهندسی زلزله، ۱ (۲)، ۲۳-۳۱.
- (۷) رضایی مقدم، م.ح. و احمدی، م. (۱۳۸۵). تحلیل ژئومورفولوژی کمی الگوی زهکشی شبکه آبراهه‌ای به کمک زاویه برخورد آن‌ها در زیر‌حوضه سریاس، استان کرمانشاه. فصل‌نامه تحقیقات جغرافیایی، ۱۴، ۱۱-۳۱.
- (۸) ریاضی راد، ز. و جوان دولویی، غ. (۱۳۸۷). بررسی لرزه‌خیزی و ساختار سرعتی ناحیه اصفهان بر اساس امواج پیکری، زمین، ۳ (۴)، ۱-۱۶.
- (۹) سلیمانی، ش. (۱۳۷۸). رهنمودهایی در شناسایی حرکات تکتونیکی فعال و جوان با نگرشی بر مقدمات دیرینه‌شناسی، پژوهشگاه بین‌المللی زلزله‌شناسی و مهندسی زلزله.
- (۱۰) شریفی پیچون، م؛ زارع، ف. و طاهری‌نژاد، ک. (۱۳۹۶). ارزیابی فعالیت‌های نئوتکتونیکی با استفاده از شاخص‌های ژئومورفیک (نمونه موردی: حوضه آبریز کذاب یزد). مجله مخاطرات محیط طبیعی، ۶ (۱۱)، ۱۵-۳۲.
- (۱۱) علیزاده، ا. (۱۳۹۴). اصول هیدرولوژی کاربردی، چ ۴۰، ناشر دانشگاه امام رضا(ع).
- (۱۲) کرمی، ف. (۱۳۸۸). ارزیابی ژئومورفیک فعالیت‌های تکتونیکی در حوضه زهکشی سعیدآباد چای. پژوهش‌های جغرافیای طبیعی، ۵۶-۸۲.
- (۱۳) گورابی، ا. و کیارستمی، ف. (۱۳۹۴). ارزیابی زمین‌ساخت حوضه‌های آبریز با استفاده از اختصاصات ژئومورفیک در قالب Tec DEM (مطالعه موردی: حوضه آبریز رودک در شمال شرق تهران). پژوهش‌های جغرافیای طبیعی، ۳ (۴۷)، ۴۷۹-۴۶۵.
- (۱۴) مقصودی، م؛ جعفری اقدم، م؛ باقری سید شکری، س. و مینایی، م. (۱۳۹۰). بررسی تأثیر تکتونیک فعال حوضه آبخیز کفرآور با استفاده از شاخص‌های ژئومورفیک و شواهد ژئومورفولوژیکی، جغرافیا و توسعه، ۹، ۱۱۱-۱۳۶.
- (۱۵) یمانی، م؛ کامرانی دلیر، ح. و باقری سید‌شکری، س. (۱۳۹۲). مورفومتری و ارزیابی شاخص‌های ژئومورفیکی جهت تعیین میزان فعالیت نوزمین‌ساخت در حوضه آبریز چله (زاگرس شمال غربی). فصل‌نامه تحقیقات جغرافیایی، ۹۷ (۲۹)، ۲۶-۱.
- (۱۶) یمانی، م. و علیزاده، ش. (۱۳۹۵). بررسی فعالیت‌های نوزمین‌ساخت حوضه آبخیز کرج از طریق شاخص‌های ژئومورفیک، جغرافیای طبیعی، ۹ (۳۱)، ۱-۱۸.
- (۱۷) یمانی، م؛ امیری نژاد ترک، س؛ غلامی، ف. و نژادحسینی، ر. (۱۳۹۷). بررسی تکتونیک فعال در حوضه سمنان (جنوب سمنان) با استفاده از شاخص‌های ژئومورفیک. کاوش‌های جغرافیایی مناطق بیابانی، ۱۶ (۱)، ۱-۱۶.

References

- 1) Alizadeh, A., (2015). Principals of applied hydrology, 40th edition, University of Imam Reza press.
- 2) Bahrami, S., (2013). Analyzing the drainage system anomaly of Zagros basins: Implications for active tectonics. Tectonophysics, 608, 914-928. [In Persian].
- 3) Bull, W.B., & McFadden, L.D. (1977). Tectonic geomorphology north and south of the Garlock fault, California.8th Annual Geomorphology Symposium". State University of New York. Binghamton. 115-138.
- 4) El Hamdouni, R., Irigaray, C., Fernandes, T., Chacon, J., & Keller, E. A., (2008). Assesment of relative active tectonics, Southwest border of the sierra Nevada (Southern Spain). Geomorphology, 96, 150-173.

- 5) Frankel, K. L. & Pazzaglia, F. J. (2006). Mountain fronts, base-level fall, and landscape evolution. Insights from the southern Rocky Mountains, Geological Society of America. Special paper, 398, 419-434.
- 6) Goorabi, A. & Kiarostamh, F. (2015). Assessment of Watershed Tectonic Using Geomorphologic Characteristic in the TecDem Model, Rodak Basin in North East Tehran. Physical Geography Research Quarterly, 47(3), 465-479. [In Persian].
- 7) Guarneri, P., & Pirrotta, C. (2008). The response of drainage basins to the late quaternary tectonics in the Sicilian side of the Messina Strait (NE Sicily). Geomorphology, 95, 260-273.
- 8) Habibolahian, M. & Ramesht, M.H. (2012). Active Morphotectonic study catchment Hisarak Using morphometric parameters. Quantitative Geomorphology Reseach. 1 (2), 17-34. [In Persian].
- 9) Hack, J.T., (1973). Stream-profile analysis and stream-gradient index. US Geological Survey Journal of Research, 1, 421-429.
- 10) Harkins, Nathan., W., Anastasio, David. J., & Pazzaglia, Frank. J. (2005). Tectonic geomorphology of the Red Rock Fault, insights into segmentation and landscape evolution of a developing range front normal fault. Journal of Structural Geology, 27, 1925-1939.
- 11) Hesami, KH., & Tabasi, H., (2006). Razak fukt and the related morphotectonic problems". Unpublished Research Report. International Institute of Earthquake Engineering & Sismology. Tehran. [In Persian].
- 12) Jabari, N., Sarvati, Mm., & Hossein-zadeh, M., (2012). Active morphotectonic Study Catchment Hisarak Using morphometric parameters. Quantitative Geomorphology Resarch, 1(2), 17-34. [In Persian].
- 13) Karami, F., (2009). Geomorphic Survey of Tectonic Activities on Saeidabadi Chai Drainage Basin. Physical Geography Research Quarterly, 69, 67-82. [In Persian].
- 14) Kastelic, V., Michele, M.C., Carafa, & Visini, F., (2016). Neotectonic Deformation Models for Probabilistic Seismic Hazard: A Study in the External Dinarides. Geophysical Journal International, Advance Access published March 21, 1-36.
- 15) Keller, E.A. & Pinter, N., (1996). Active Tectonics: Earthquake, Uplift and Landscpaes Prentice, Hall "Publication. London.
- 16) Keller. , E.A., & Pinter. , N., (2001). Active Tectonics, Earthquakes, Uplift and Landscape (2nd Edition)". New Jersey. Prentice Hall. 1-362.
- 17) Keller, E.A., & Pinter, N.D.J. (2002). Active Tectonics, Earthquakes, Uplift, and Landscape. Environmental and Engineering Geoscience, 3(3), 463-463.
- 18) Morrisava, M., & Hack, J. (1985). Tectonic Geomorphology. Boston: Unwind Hyman Press. National Cartographic Survey.2.5-meter resolution kartosta satellite image.
- 19) National Cartographic Survey. Specifications Garmabdar permanent Geodynamic station (2006-2010).
- 20) Parvin, M. (2020).). Assessment of active tectonics of the Karrand River Basin using drainage network feature analysis, Physical geography Researcher Quarterly, Faculty of Geography Institute of geography, Tehran, vVol. 52, No. 3, PP. 499-514.
- 21) Perez-Pena, J.V., ; Azanon, J.M., . and Azor, A., (2009),). CalHypso: An ArcGIS extension to calculate hypsometric curves and their statistical moments. Applications to drainage basin analysis in SE Spain. Computers & Geosciences, 35 (6),); 1214–1223.
- 22) Rachoki. , A. H. and cChurds, Mm. (1990), Alluvial fan: A Filed approach, John Wiley and sons, Inc.
- 23) Ramirez, M.tT. and Herrera, M., (1998). "Geomorphic Assessment of Active Tectonics in the Acambaygraben, Mexican Volcanic Belt". Earth Surface Processes and Landforms. Vol. 23, ppPP. 317-332. (In Persian).
- 24) Rezaei Moghadam, M.H., . and Ahmadi, Mm., (2006),). Quantitative Geomorphologic Analysis of Drainage Patterns of Serias Sub-Basin (Kermanshah), Using Conjunction Angle, Vol. 21, No. 2, PPpp. 84-98.
- 25) Sharifi piychoon, Mm.; Zare. , F. and Taherinejad, K. (2016). "Assessment of New tectonic activities Using Geomorphological indicators Case Study: Kazab Basin - Yazd". Natural Environmental hazards. Vol. 11. NoO.6, pp PP. 15-32. (In Persian).
- 26) Siva, P.G., ; Zazo, C., . and Bardji, T., (2003),). "Fault Generated Mountain Fronts in Southwest Spain: Geomorphology Assessment of Tectonic and Seismic Activity", Geomorphology, 50: 203-225.
- 27) Solimani, Sh., (1999). Guidelines on Detecting and NeoTectonic Movements with Approach to Preliminaries of Pale Seismology, First Edition. Publication of Seismology and Earthquake Engineering International Institute. Tehran. [In Persian].
- 28) Schumm, S. (1956). Evolution of Drainage Systems and Slopes in Badlands at Perth Amboy, New Jersey. Geological Society of America Bulletin, 67, 597-646.
- 29) Strahler, A.N., (1952). Quantitative analysis of watershed geomorphology. Transactions of the American Geophysical Union, 8 (6), 913-920.

- 30) Strahler, A. N. (1964). Part II. Quantitative geomorphology of drainage basins and channel networks. *Handbook of Applied Hydrology*: McGraw-Hill, New York, 4-39.
- 31) Yamani, M., Kamrani-Dalir, H., & Bagheri, S. (2013). Morphometric and geomorphic assessment criteria for determining the amount of Neotectonic activity in Cheleh Basin (northwestern Zagros), *Journal of Geographical Research*, 29(97), 1-26 [in Persian].
- 32) Yamani, M., & Alizadeh, S.H., (2016). Neotectonic Activities Survey of Karaj Basin by Using Geomorphic Parameters. *Journal of Physical Geomorphology*, 9(1), 1-18.
- 33) Yamani, M., & Amirinejad Tork, S., Gholami, F., & Nejad Hoseyni, R., (2018). Investigation of the active tectonic in Semnan basin (South of Semnan), U using geomorphological indices, 6(1), 149-174.